



# БИООРГАНИЧЕСКАЯ ХИМИЯ

том 9 \* № 5 \* 1983

УДК 577.152.37:577.175.82/85

## КИНЕТИКА РАЗЛОЖЕНИЯ ПРОСТАГЛАНДИНА Н<sub>2</sub>. МЕТОД ОПРЕДЕЛЕНИЯ АКТИВНОСТИ ПРОСТАГЛАНДИН-Н-КОНВЕРТАЗ

*Басевич В. В., Мевх А. Т., Варфоломеев С. Д.*

*Московский государственный университет им. М. В. Ломоносова*

*Ярвинг И.*

*Институт химии Академии наук ЭССР, Таллин*

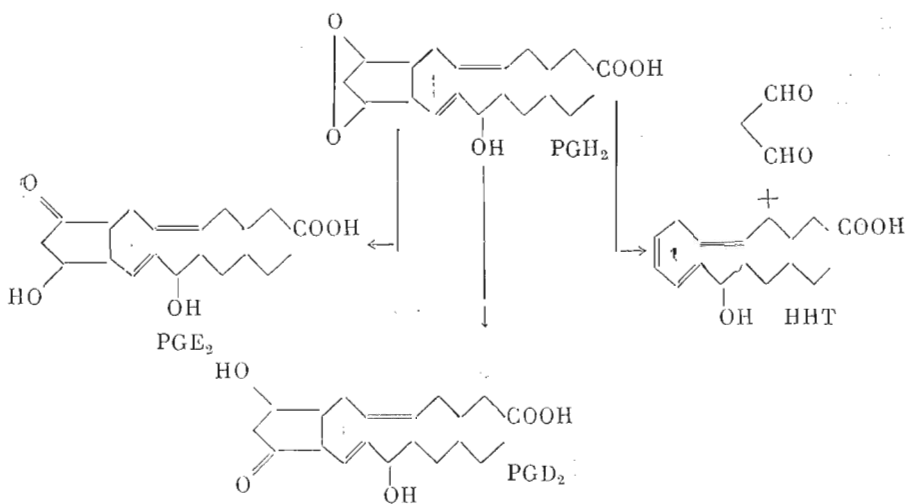
Проведено количественное описание процессов, протекающих при неферментативном разложении простагландина Н<sub>2</sub>. Кинетика разложения изучена с помощью тиобарбитуратного теста, отражающего содержание в реакционной смеси малонового диальдегида. Наблюдаемые константы скорости разложения простагландина Н<sub>2</sub> практически не зависят от pH в интервале 5,5–9,5, а рассчитанные времена полупревращения при этих значениях pH меняются от 5,8 до 3,6 мин. На примере тромбоксансингтазы из тромбоцитов человека показана принципиальная возможность применения тиобарбитуратного теста для определения эндопероксидпростагландин-конвертазой активности. Показано, что наблюдаемая константа скорости реакции в присутствии фермента является липейной функцией от его концентрации.

15-Окси-9 $\alpha$ ,11 $\alpha$ -пероксипроста-5,13-диеновая кислота (простагландин Н<sub>2</sub>) впервые была выделена и идентифицирована в 1973 г. [1, 2]. Пространственная структура данного соединения строго доказана [3].

Образование простагландина Н<sub>2</sub>(PGH<sub>2</sub>) из арахидоновой кислоты является общим и обязательным этапом синтеза простагландинов и тромбоксанов и катализируется первым ферментом простагландинсингтазой системы — эндопероксидпростагландинсингтазой (PGH-сингтазой) (КФ 1.14.99.1) [2, 4, 5]. Под действием второго фермента системы, который мы предлагаем в общем случае называть эндопероксидпростагландинконвертазой (PGH-конвертазой), простагландин Н<sub>2</sub> превращается в зависимости от органа или ткани локализации ферментной системы в простагландины Е<sub>2</sub>, F<sub>2 $\alpha$</sub> , D<sub>2</sub>, I<sub>2</sub> или тромбоксан [6].

Существует ряд удобных и методически доступных способов определения активности PGH-сингтазы: слежение за изменением концентрации кислорода в реакционной смеси [7]; детектирование изменений концентрации участвующего в реакции донора электронов [8, 9]; радиоавтографическая детекция продуктов [10]; спектрофотометрическая методика определения малонового диальдегида (MDA), сопутствующего продукта PGH-сингтазной реакции [11–13], по образованию им окрашенного соединения с 2-тиобарбитуровой кислотой (ТВА-тест) [13]. Для определения активности PGH-конвертаз используется преимущественно радиоавтографическая детекция продуктов, образующихся при ферментативном превращении меченого субстрата [10].

Простагландин Н<sub>2</sub> является нестабильным соединением. В буферных растворах при pH 8 и 37° С он разлагается главным образом на смесь простагландинов Е<sub>2</sub> и D<sub>2</sub> с периодом полупревращения 4–5 мин [14]. Кроме того, как при спонтанном, так и при ферментативном превращении простагландина Н<sub>2</sub> образуются малоновый диальдегид и 12-L-оксигептадека-5,8,10-триеновая кислота (ННТ) [2, 15, 16]:



Малоновый диальдегид и простагландин  $H_2$  можно количественно определять с помощью ТВА-теста спектрофотометрически или используя флуоресцентный способ детекции [13, 15].

Целью настоящей работы является, с одной стороны, количественное описание процессов, протекающих при неферментативном превращении простагландина  $H_2$ , с другой — изучение возможности применения ТВА-теста для описания кинетики PGH-конвертазных реакций при использовании простагландина  $H_2$  в качестве субстрата.

#### Кинетика неферментативного разложения простагландина $H_2$

Экспериментально были исследованы закономерности образования окрашенного продукта при реакции тиобарбитуревой кислоты с различными компонентами системы, включая малоновый диальдегид, простагландины  $H_2$ ,  $E_2$  и  $F_{2\alpha}$ . Реакцию проводили при pH 1 и температуре 95–100° С (условия ТВА-теста). При исследовании реакции с малоновым диальдегидом в качестве его стабильного предшественника был использован 1,1,3,3-тетраэтоципропан, который в условиях опыта гидролизуется количественно, образуя малоновый диальдегид [15, 17].

Кинетические кривые образования окрашенного продукта при использовании в качестве реагента малонового диальдегида (рис. 1а, 1–3) и простагландина  $H_2$  (рис. 1а, 4–6) свидетельствуют, что после 20 мин проведения реакции при 95–100° С (pH 1) процесс образования окрашенного продукта ( $A_{532}$ ) полностью заканчивается. Сравнение характеристических времен реакции показывает (см. рис. 1б), что кинетика процесса

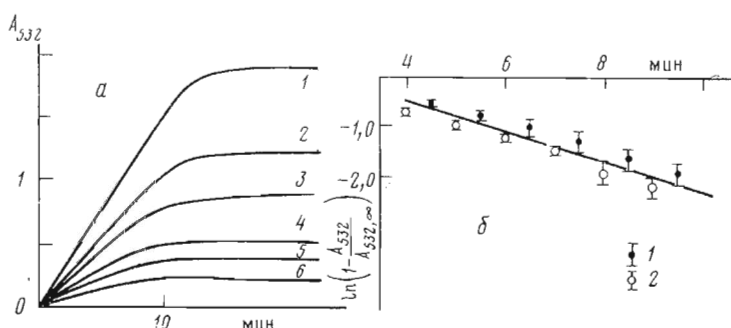
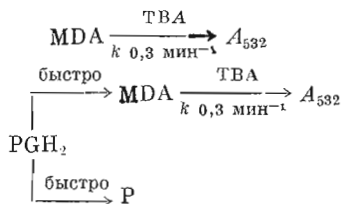


Рис. 1. Кинетика образования окрашенного соединения из MDA и простагландина  $H_2$  в условиях ТВА-теста: а — непрерывное изменение поглощения при  $\lambda$  532 нм; исходные концентрации MDA: 1 – 11,0; 2 – 7,7; 3 – 6,4 мкМ; простагландина  $H_2$ : 4 – 5,2; 5 – 4,7; 6 – 2,9 мкМ; б — данные рис. 1а в полулогарифмических координатах: 1 – MDA (кривые 1–3 рис. 1а), 2 – простагландин  $H_2$  (кривые 4–6 рис. 1а)

для обоих соединений описывается одним и тем же временем полупревращения. Это указывает на то, что как в случае малонового диальдегида, так и в случае простагландинов  $H_2$  процесс образования спектрофотометрически детектируемого соединения контролируется одной и той же стадией, а именно стадией реакции малонового диальдегида с тиобарбитуро-вой кислотой. Как известно, эндоперекиси простагландинов при нагревании расщепляются с образованием малонового диальдегида [2, 15].

Протекающие при проведении ТВА-теста ( $pH\ 1; 95-100^\circ C$ ) процессы можно представить в виде схемы:



где  $P$  — сумма простагландинов  $E_2$  и  $D_2$ ;  $A_{532}$  — окрашенный детектируемый продукт.

Помимо расщепления с образованием малонового диальдегида простагландин  $H_2$  превращается в продукт, который не взаимодействует с тиобарбитуро-вой кислотой. Результатом этого является тот факт, что определяемые экспериментально значения коэффициентов молярного поглощения образующегося окрашенного продукта по малоновому диальдегиду и простагландину  $H_2$  не совпадают (рис. 2). Параллельная реакция образования продукта  $P$  существенно снижает значение  $\epsilon_{\text{PGH}_2} : \epsilon_{\text{MDA}} = (1,53 \pm 0,03) \cdot 10^5\ M^{-1}\ \text{см}^{-1}$ ,  $\epsilon_{\text{PGH}_2} = (0,89 \pm 0,03) \cdot 10^5\ M^{-1}\ \text{см}^{-1}$ . (Полученное значение  $\epsilon_{\text{MDA}}$  совпадает с величиной, найденной ранее в работе [15].) Как видно из рис. 2, простагландины  $E_2$  и  $F_{2\alpha}$  не образуют окрашенного продукта в условиях ТВА-теста.

Используя ТВА-тест как метод определения концентрации эндоперекисей и малонового диальдегида, детально исследовали кинетику неферментативной трансформации простагландина  $H_2$  при его инкубации в буферном растворе при  $pH$  и температуре, близких к физиологическим. С этой целью раствор простагландина  $H_2$  инкубировали при  $32^\circ C$ , через различные промежутки времени отбирали пробы, добавляли их в раствор,

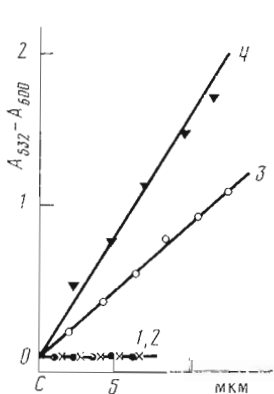


Рис. 2

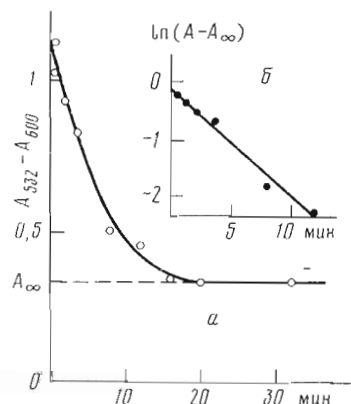


Рис. 3

Рис. 2. Зависимость поглощения от концентрации простагландина  $H_2$  и продуктов его неферментативного превращения: 1–3 – простагландины  $E_2$ ,  $F_{2\alpha}$ ,  $H_2$  соответственно; 4 – МДА. Все вещества добавляли в 1–10 мкл спирта к ТВА-реагенту

Рис. 3. Кинетика неферментативного разложения простагландина  $H_2$ :  $a$  – зависимость образования окрашенного соединения от времени предынкубации простагландина  $H_2$  ( $1,3 \cdot 10^{-5}\ M$ ) в фосфатном буфере,  $pH\ 6$  ( $32^\circ C$ );  $b$  – данные рис. 3а в полулогарифмических координатах

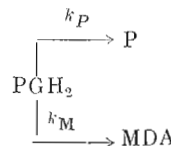
содержащий ТВА и HCl, выдерживали при 95–100° С (pH 1) и спектрофотометрически определяли концентрацию образовавшегося окрашенного продукта. При проведении инкубации простагландин в буферном растворе наблюдается уменьшение суммарной концентрации эндоперекисиных групп и малонового диальдегида (рис. 3).

Количество эндоперекисиных групп, определяемых в условиях ТВА-теста, не уменьшается до нуля во времени, а выходит на некоторый предельный уровень. Это свидетельствует о том, что параллельно с исчезновением эндоперекисиных групп протекает процесс накопления соединения, которое спектрофотометрически детектируется в условиях ТВА-теста.

Кинетика изменения экспериментально наблюдавшегося оптического поглощения достаточно строго описывается экспоненциальным уравнением

$$A_{532} = a \cdot e^{-k_{\text{набл}} \cdot t} + b, \quad (1)$$

где  $k_{\text{набл}}$  — наблюдаемая константа скорости реакции,  $a$ ,  $b$  — параметры, зависящие от концентрации простагландин H<sub>2</sub> и температуры. Простейшая кинетическая схема, описывающая экспериментальные данные, может быть представлена в виде



где  $k_M$  — константа скорости реакции превращения простагландин H<sub>2</sub> в малоновый диальдегид;  $k_P$  — сумма констант превращения простагландин H<sub>2</sub> в недетектируемые в ТВА-тесте продукты.

Эта кинетическая схема может быть представлена системой уравнений:

$$\begin{cases} -\frac{d[\text{PGH}_2]}{dt} = (k_M + k_P) \cdot [\text{PGH}_2] \\ \frac{d[\text{MDA}]}{dt} = k_M \cdot [\text{PGH}_2] \end{cases}$$

Кинетика изменения концентрации простагландин H<sub>2</sub> и MDA (при начальном условии  $t=0$ ,  $[\text{PGH}_2]=[\text{PGH}_2]_0$ ) будет описываться уравнениями

$$[\text{PGH}_2] = [\text{PGH}_2]_0 \cdot e^{-(k_M + k_P) \cdot t} \quad (2)$$

$$[\text{MDA}] = \frac{k_M}{k_M + k_P} [\text{PGH}_2]_0 \cdot [1 - e^{-(k_M + k_P) \cdot t}]. \quad (3)$$

Экспериментально детектируемая величина поглощения ( $A_{532}$ ) представляет собой сумму поглощений, определяемых концентрацией малонового диальдегида, образующегося при низкотемпературном превращении простагландин H<sub>2</sub> в буферном растворе ( $A_{532}^{\text{MDA}}$ ) и малонового диальдегида, образующегося при высокотемпературном расщеплении простагландин H<sub>2</sub> в ТВА-тесте ( $A_{532}^{\text{PGH}_2}$ ):

$$A_{532} = A_{532}^{\text{MDA}} + A_{532}^{\text{PGH}_2} = \epsilon_{\text{MDA}} \cdot [\text{MDA}] + \epsilon_{\text{PGH}_2} \cdot [\text{PGH}_2].$$

С учетом (2) и (3) экспериментально наблюдаемое изменение поглощения во времени описывает уравнение

$$A_{532} = \frac{\epsilon_{\text{MDA}} \cdot k_M}{k_M + k_P} [\text{PGH}_2]_0 + (\epsilon_{\text{PGH}_2} - \frac{\epsilon_{\text{MDA}} \cdot k_M}{k_M + k_P}) [\text{PGH}_2]_0 \cdot e^{-(k_M + k_P) \cdot t}. \quad (4)$$

Соответственно при  $t=0$  имеем

$$A_{532,0} = \epsilon_{\text{PGH}_2} \cdot [\text{PGH}_2]_0,$$

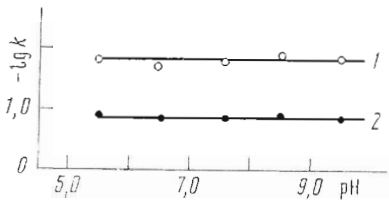


Рис. 4. Зависимость констант скоростей реакции неферментативного разложения простагландинов  $H_2$  от рН: 1 —  $k_M$ , 2 —  $k_P$ ; фосфатный буфер (рН 5,0—7,0); три- $HCl$ -буфер (рН 7,0—9,0), 32° С

при  $t \rightarrow \infty$  (предельное оптическое поглощение)

$$A_{532; \infty} = \frac{\epsilon_{MDA} \cdot k_M}{k_M + k_P} [PGH_2]_0.$$

Уравнение (4) описывает экспериментально наблюдаемую зависимость (1). При этом

$$k_{\text{набл}} = k_M + k_P, \quad (5)$$

$$a = \epsilon_{PGH_2} \left( 1 - \frac{\epsilon_{MDA}}{\epsilon_{PGH_2}} \cdot \frac{k_M}{k_M + k_P} \right) \cdot [PGH_2]_0,$$

$$b = \epsilon_{MDA} \cdot \frac{k_M}{k_M + k_P} [PGH_2]_0.$$

Полученные уравнения позволяют определить константы скорости трансформации простагландинов  $H_2$

$$\frac{A_{532; 0}}{A_{532; \infty}} = \frac{\epsilon_{PGH_2}}{\epsilon_{MDA}} \left( 1 + \frac{k_P}{k_M} \right). \quad (6)$$

Из данных рис. 3 с учетом найденных ранее значений  $\epsilon_{PGH_2}$  и  $\epsilon_{MDA}$  в соответствии с уравнением (6) следует, что при рН 6,0 (32° С)  $k_P/k_M \approx 5$ , т. е. превращение простагландина  $H_2$  в простагландины  $E_2$  и  $D_2$ , недетектируемые в ТВА-тесте, протекает в 5 раз быстрее, чем его разложение с образованием малонового диальдегида. Константы скорости  $k_M$  и  $k_P$  соответственно равны 0,03 и 0,15 мин<sup>-1</sup>.

Была исследована зависимость констант  $k_M$  и  $k_P$  от рН. Из рис. 4 можно видеть, что ярко выраженной зависимости скорости от рН в реакции спонтанного превращения простагландина  $H_2$  не наблюдается. Отношение  $k_P/k_M$  изменяется в 2,0—2,5 раза. Времена полупревращения простагландина  $H_2$ , рассчитанные из значений  $k_{\text{набл}}$ , в интервале рН 5,5—9,5 меняются незначительно (от 5,8 до 3,6 мин) и совпадают со значениями, определенными экспериментально по распаду радиоактивного простагландина  $H_2$  [14].

Используя найденные значения констант скоростей, можно получить расчетные кинетические кривые уменьшения концентрации простагландина  $H_2$ , образования малонового диальдегида и недетектируемых продуктов при неферментативном превращении простагландина  $H_2$  при температуре и рН, близких к физиологическим (рис. 5).

### Ферментативное разложение простагландина $H_2$

Описание свойств, устойчивости и механизма неферментативного превращения простагландина  $H_2$ , а также характера протекающих процессов в условиях ТВА-теста является необходимым и делает возможным применение данного метода для определения ферментативной активности PGH-конвертаз.

Рассмотрим принципиальные возможности метода на примере тромбоксансинтетазы, выделяемой из тромбоцитов человека. При этом важно отметить, что метод имеет общий характер и может быть использован при изучении большого класса ферментов, специфически превращающих эндо-перекиси простагландинов в различные простагландины.

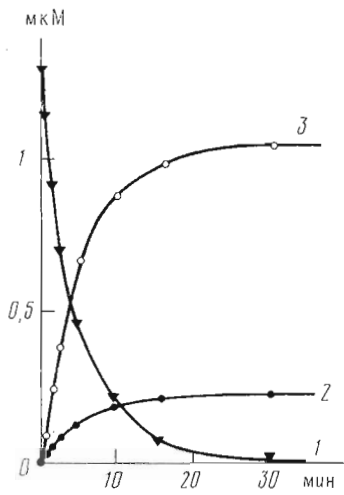


Рис. 5

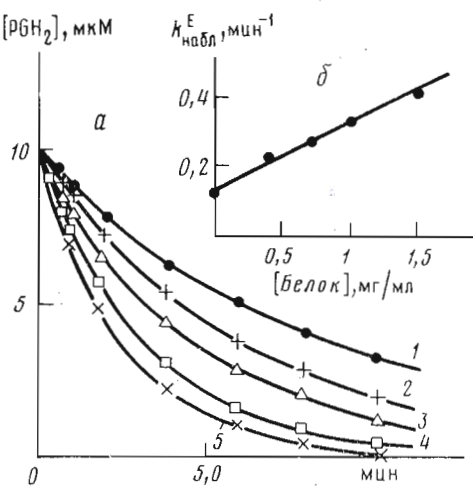


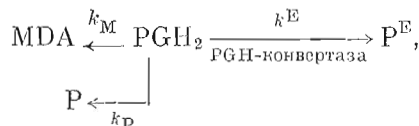
Рис. 6

Рис. 5. Расчетные кинетические кривые неферментативного разложения простагландинов  $H_2$ : 1 — уменьшение концентрации простагландинов  $H_2$ ; 2 — накопление MDA; 3 — накопление продукта  $P$ . Расчет проведен на основе экспериментальных данных рис. 3 а

Рис. 6. Кинетика трансформации простагландинов  $H_2$  в присутствии тромбоксансинтазы ( $25^\circ C$ ): а — зависимость концентрации простагландинов  $H_2$  от времени реакции при содержании простагландинов  $H_2$  10,2 мкМ, белка: 0 (1), 0,4 (2), 0,7 (3), 1,0 (4), 1,5 мг/мл (5). б — зависимость наблюдаемой константы скорости ферментативного превращения простагландинов  $H_2$  от концентрации фермента

В общем случае схему превращения простагландинов  $H_2$  в присутствии РГН-конвертазы можно представить следующим образом:

Схема 1



где  $\text{P}^E$  — продукт ферментативного превращения простагландинов  $H_2$ ,  $k^E$  — эффективная константа скорости первого порядка, которая должна быть линейной функцией концентрации фермента.

Введение в систему фермента, конвертирующего простагландин  $H_2$ , должно вызывать ускорение расхода простагландинов  $H_2$ . В первом приближении можно считать, что ферментативное превращение простагландинов  $H_2$  протекает по первому порядку относительно концентрации субстрата. Экспериментальным свидетельством в пользу этого является тот факт, что наблюдаемые кинетические кривые расхода простагландинов  $H_2$  достаточно строго описываются экспоненциальными функциями — интегральной формой кинетического уравнения первого порядка. В этом случае скорость превращения простагландинов  $H_2$ , согласно схеме 1, имеет вид

$$-\frac{d[\text{PGH}_2]}{dt} = (k_M + k_P + k^E) \cdot [\text{PGH}_2].$$

Изменение во времени поглощения в ТВА-тесте должно описываться экспоненциальной функцией типа (1), где

$$k_{\text{набл}}^E = k_M + k_P + k^E.$$

В указанных условиях наблюдаемая константа скорости превращения простагландинов  $H_2$  в присутствии РГН-конвертазы ( $k_{\text{набл}}^E$ ) может быть определена в полулогарифмических координатах, значения  $k_M$  и  $k_P$  рассчитываются согласно вышеизведенным выражениям (5) и (6).

Действительно, из рис. 6а следует, что скорость расхода простагландинов  $H_2$  зависит от присутствия в системе тромбоксансинтетазы и наблюдаемая константа скорости реакции является линейной функцией от концентрации фермента (рис. 6б).

Таким образом, применение данного подхода может служить методом определения ферментативной активности PGH-конвертаз, когда в качестве субстрата используется простагландин  $H_2$ , а также и эндоперекиси простагландинов  $H_1$ ,  $H_3$ ,  $G_1$ ,  $G_2$ ,  $G_3$ , разлагающиеся с образованием малонового диальдегида [5, 18].

### Экспериментальная часть

Простагландины  $H_2$ ,  $E_2$  и  $F_{2\alpha}$  получены из Института химии АН ЭССР. Чистота препаратов, по данным газожидкостной хроматографии [19], составляла не менее 95 %. Фосфат калия марки ос.ч., 2-тиобарбитуровая кислота марки ч.д.а., три-(гидроксиметил)аминометан — препарат фирмы Serva (ФРГ), твин-20 — фирмы Merck (ФРГ). 1,1,3,3-Тетраэтокси-пропан синтезирован на кафедре химической энзимологии МГУ согласно работе [20]. Солюбилизированный фермент из тромбоцитов человека получали как описано [21].

Кислотный гидролиз 1,1,3,3-тетраэтокси-пропана для получения стандартных растворов малонового диальдегида осуществляли в соответствии с работой [17].

Тиобарбитуратный тест проводили согласно описанным методикам [22–24]. Из реакционной ячейки, в которой предынкубировали простагландин  $H_2$ , отбирали аликвоты во времени (200 мкл) и переносили в пробирку, содержащую 1,5 мл 0,1 M HCl и 1,5 мл 0,6 % раствора 2-тиобарбитуровой кислоты (ТВА-реагент). Выдерживали не менее 15 мин на кипящей водяной бане. После охлаждения до 20°С измеряли спектр поглощения в диапазоне 500–600 нм на двухлучевом спектрофотометре Hitachi-124. В кювете сравнения использовали раствор, полученный при добавлении 200 мкл буфера к ТВА-реагенту, с той же температурной обработкой, что и рабочий раствор. При работе с ферментом для получения раствора, используемого в кювете сравнения, к ТВА-реагенту добавляли 200 мкл раствора солюбилизированного фермента в требуемой концентрации и в буфере, соответствующем условиям проводимого эксперимента. При определении значения поглощения в максимуме ( $A_{532}$ ) учитывали «фоновое» поглощение при 600 нм ( $A_{600}$ ). Полученная зависимость поглощения ( $A_{532}-A_{600}$ ) от времени являлась исходной информацией приводимых кинетических результатов. Наблюдаемые константы скорости реакции рассчитывали в полулогарифмических координатах с использованием метода наименьших квадратов.

Содержание белка определяли по методу Лоури [25].

### ЛИТЕРАТУРА

1. Hamberg M., Samuelsson B. Proc. Nat. Acad. Sci. USA. 1973, v. 70, № 3, p. 899–903.
2. Nugteren D. H., Hazelhof E. Biochim. et biophys. acta, 1973, v. 326, № 3, p. 448–461.
3. Hamberg M., Svensson J., Wacabayashi T., Samuelsson B. Proc. Nat. Acad. Sci. USA, 1974, v. 71, № 2, p. 345–349.
4. Samuelsson B., Goldyne M., Granström E., Hamberg M., Hammarström S., Malmsten C. Ann. Rev. Biochem., 1978, v. 47, № 3, p. 997–1029.
5. Hammarström S. Arch. Biochem. and Biophys., 1982, v. 214, № 2, p. 431–445.
6. Salmon J. A., Flower R. J. In: Hormones in blood / Eds Gray C. H., James V. H. T. Acad. Press, 1979, v. 2, p. 237–319.
7. Smith W. L., Lands M. E. M. J. Biol. Chem., 1971, v. 246, № 21, p. 6700–6702.
8. Takeguchi C., Sih C. J. Prostaglandins, 1972, v. 2, № 3, p. 169–184.
9. Ohki S., Ogino N., Yamamoto S., Hayashi O. J. Biol. Chem., 1979, v. 254, № 2, p. 829–836.
10. Angard E., Samuelsson B. J. Biol. Chem., 1965, v. 240, № 9, p. 3518–3521.
11. Hamberg M., Samuelsson B. J. Biol. Chem., 1967, v. 242, № 22, p. 5344–5354.
12. Hamberg M., Samuelsson B. Proc. Nat. Acad. Sci. USA, 1974, v. 71, № 9, p. 3400–3404.
13. Flower R. J., Cheung H. S., Cushman D. W. Prostaglandins, 1973, v. 4, № 3, p. 325–341.

14. Svensson J., Hamberg M., Samuelsson B. *Acta physiol. scand.*, 1975, v. 94, № 2, p. 222–228.
15. Shimizu T., Kondo K., Hayaishi O. *Arch. Biochem. and Biophys.*, 1981, v. 206, № 2, p. 271–276.
16. Diszfalussy U., Falardeau P., Hammarström S. *FEBS Lett.*, 1977, v. 84, № 2, p. 271–274.
17. Gutteridge J. M. C. *Analyt. Biochem.*, 1975, v. 69, № 2, p. 518–526.
18. Hamberg M. *Biochim. et biophys. acta*, 1980, v. 618, № 3, p. 389–398.
19. Самель Н., Лыхмус М., Алисга Р., Мянник А., Лилле Ю. Изв. АН ЭССР, 1981, т. 30, № 3, с. 199–207.
20. Прогопопова Т. В., Скоддинов А. П. *Ж. общ. химии*, 1957, т. 27, № 1, с. 57–62.
21. Мевх А. Т., Басевич В. В., Варфоломеев С. Д. *Биохимия*, 1982, т. 47, № 10, с. 1635–1640.
22. Yagi K. *Biochem. Med.*, 1976, v. 15, № 1, p. 212–216.
23. Uchiyama M., Michara M. *Analyt. Biochem.*, 1978, v. 86, № 1, p. 271–278.
24. Pryor W. A., Stendley J. P., Blair E. *Lipids*, 1976, v. 11, № 5, p. 370–379.
25. Lowry O. H., Rosebrough N. J., Farr A. L., Randall R. J. *J. Biol. Chem.*, 1951, v. 193, № 1, p. 265–275.

Поступила в редакцию  
4.XI.1982

## KINETICS OF THE PROSTAGLANDIN H<sub>2</sub> DEGRADATION. A METHOD FOR DETERMINATION OF THE ACTIVITY OF PROSTAGLANDIN-H-CONVERTASES

BASEVICH V. V., MEVKH A. T., YARVING I., VARFOLOMEEV S. D.

*M. V. Lomonosov State University, Moscow; Institute of Chemistry,  
Academy of Sciences of the Estonian SSR, Tallinn*

The quantitative study of the processes that accompany nonenzymatic degradation of prostaglandin H<sub>2</sub> has been carried out. The thiobarbituric acid test which shows the content of malonic dialdehyde in the reaction mixture has been used to study kinetics of the degradation. The apparent rate constants of this process have been pH-independent over the pH-range 5.5–9.5, and the calculated conversion halftime changes from 5.8 to 3.6 min at these pH values. Thromboxane synthetase from human platelets has been chosen to demonstrate the possibility of application of thiobarbituric acid test for determination of the activity of prostaglandin endoperoxide convertase. It has been shown that the apparent rate constant of the reaction in the presence of the enzyme is the linear function of its concentration.